

## مطالعه ناهمسانگردی لرزه‌ای در شمال غرب ایران با استفاده از فازهای S پوسته

زهرا اسکندری

دانشگاه تحصیلات تکمیلی علوم پایه زنجان، زنجان، ایران  
[faezeheskandari@yahoo.com](mailto:faezeheskandari@yahoo.com)

فرهاد ثبوتی

دانشگاه تحصیلات تکمیلی علوم پایه زنجان، زنجان، ایران  
[farhads@iasbs.ac.ir](mailto:farhads@iasbs.ac.ir)

عبدالرضا قدس

دانشگاه تحصیلات تکمیلی علوم پایه زنجان، زنجان، ایران  
[aghods@iasbs.ac.ir](mailto:aghods@iasbs.ac.ir)

احمد سدیدخوی

مؤسسه زئوفیزیک دانشگاه تهران، تهران، ایران  
[asadid@ut.ac.ir](mailto:asadid@ut.ac.ir)

اسماعیل شبانیان

دانشگاه تحصیلات تکمیلی علوم پایه زنجان، زنجان، ایران  
[shabanian@iasbs.ac.ir](mailto:shabanian@iasbs.ac.ir)

غلامرضا مرتضی نژاد

مؤسسه زئوفیزیک دانشگاه تهران، تهران، ایران  
[g.mortezanejad@ut.ac.ir](mailto:g.mortezanejad@ut.ac.ir)

کلید واژه‌ها: ناهمسانگردی لرزه‌ای، استقاق موج برنشی، پوسته، شمال غرب ایران، راستای سریع موج برنشی

### چکیده

در این پژوهش برای بررسی ناهمسانگردی در پوسته‌ی شمال غرب ایران با استفاده از دو فاز Sg و Ps از زمین‌لرزه‌های محلی و همچنین توابع انتقال گیرنده استفاده شده است. برای بررسی راستای ناهمسانگردی در پوسته بالای منطقه اهر از ۴۶۸ رکورد ثبت شده به مدت ۱۳ روز در سه ایستگاه لرزه‌نگاری و به مدت ۴ ماه در ۱۰ ایستگاه شتاب‌نگاری مربوط به زمین‌لرزه‌ی ۲۱ مرداد ۱۳۹۱ اهر- ورزقان استفاده شد. راستای غالب محور سریع موج برنشی شمال شرق- جنوب‌غرب و با میانگین آزمومتی ۱۵۰ درجه و میانگین بزرگای ۰/۰۳۸ ثانیه به دست آمد. این راستا با بیشینه تنش فشارشی در منطقه که  $2^{\circ} \pm N132^{\circ}E$  است، مطابقت دارد. همخوانی این دو راستا نشان می‌دهد جهت‌گیری درزه و شکست‌ها در امتداد بیشینه تنش حاکم در منطقه است. همچنین برای بررسی ناهمسانگردی در کل پوسته‌ی شمال غرب ایران با استفاده از توابع گیرنده که از سال- های ۱۳۸۷ تا ۱۳۹۱ در ۲۳ ایستگاه دانشگاه تحصیلات تکمیلی علوم پایه زنجان که از ساحل آستارا تا دریاچه ارومیه مستقر هستند، استفاده شده است. میانگین بزرگای به دست آمده ۰/۴۴ ثانیه است. راستاهای ناهمسانگردی تقریباً در امتداد شمال- جنوب هستند. اما نزدیک به ساختارهای محلی تغییراتی دیده می‌شود. نزدیک کوه‌های تالش راستاهای ناهمسانگردی موازی با امتداد کوه‌ها است. گسله شمال تبریز نتوانسته تاثیر قابل توجهی روی راستاهای ناهمسانگردی بگذارد. نتایج ناهمسانگردی به دست آمده با استفاده از فاز Ps با مطالعات پیشین در گوشه‌ی بالایی مطابقت دارد.

اگر در یک محیط خواص فیزیکی جسم در راستاهای گوناگون، متفاوت باشد، آن محیط را ناهمسانگرد می‌نامند. انتشار امواج لرزه‌ای در چنین محیط‌هایی کاملاً متفاوت با محیط‌های همسانگرد است. پدیده‌ی اشتراق موج برشی یک نوع ناهمسانگردی لرزه‌ای است. موج برشی هنگام عبور از محیط ناهمسانگرد به دو مولفه با سرعت‌های متفاوت قطبیده می‌شود. دو موج سریع و کند با انتشار در محیط ناهمسانگرد از هم جدا شده و طی دو زمان متفاوت به ایستگاه لرزه‌منگاری می‌رسند. میزان اختلاف زمان رسید این دو موج را بزرگی ناهمسانگردی می‌نامند و با  $\delta t$  نشان داده می‌شود. دومین پارامتر ناهمسانگردی راستای ناهمسانگردی ( $\phi$ ) نام دارد و زاویه بین راستای محور سریع موج برشی و راستای شعاعی انتشار موج است.

اشتقاق موج برشی ممکن است با یک و یا چندین لایه ناهمسانگرد در پوسته و در هر مسیری که موج منتشر می‌شود، ایجاد شود. بنابراین بیان اینکه موج برشی در چه مکانی دچار پدیده اشتراق شده است کار دشواری به نظر می‌رسد. همواره قسمت‌های زیادی از پوسته در برابر امواج لرزه‌ای از خود ناهمسانگردی نشان می‌دهند. اما عموماً در پوسته بالایی درزه و ترک‌های جهت‌یافته و در پوسته پایینی و گوشته بالایی جهت‌یابی ترجیحی کانی‌های مختلف از عوامل ایجاد ناهمسانگردی در زمین هستند. با تعیین راستای ناهمسانگردی در پوسته بالایی می‌توان راستای درزه و ترک‌ها و درجه شکستگی‌ها را به دست آورد. همچنین چگونگی ارتباط میدان‌های تنش با راستای ناهمسانگردی را می‌توان بررسی کرد. در پوسته پایینی راستای جهت‌گیری کانی‌ها و در گوشته بالایی می‌توان به الگوی جریان گوشته استووسفری پی‌برد.

برای بررسی اشتراق موج برشی در پوسته از دو فاز Sg و Ps استفاده می‌شود. فاز Sg اولین رسید مستقیم موج S است که در اعماق تقریبی کمتر از ۲۰ کیلومتر و در فاصله‌های محلی کمتر از ۱۰۰ کیلومتر ثبت می‌شود. در منطقه‌ی مورد مطالعه‌ی ما این فاز تنها پوسته بالایی را طی می‌کند، بنابراین با استفاده از این فاز تنها می‌توان اشتراق موج برشی در پوسته‌ی بالایی را مشاهده کرد. فاز مهم بعدی که برای تعیین ناهمسانگردی در پوسته استفاده می‌شود Ps است. امواج P حاصل از زمین‌لرزه‌های دورلرز هنگامی که از میان پوسته و گوشته بالایی عبور می‌کنند در برخورد با ناپیوستگی‌های سرتاسری موجود در زیر ایستگاه به موج SV تبدیل می‌شوند. استفاده از فاز تبدیلی Ps برای محاسبه ناهمسانگردی مستلزم بهره‌گیری از توابع انتقال گیرنده است.

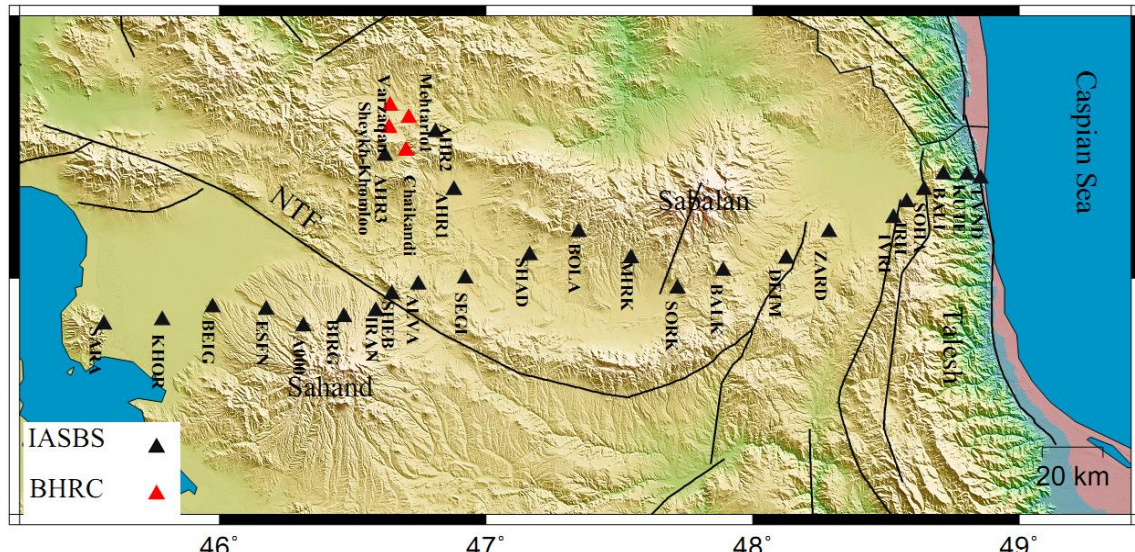
در منطقه شمال غرب ایران ناهمسانگردی در گوشته (آرین، ۱۳۹۲) به دست آمد. در این مطالعه سعی شد ناهمسانگردی در پوسته مورد بررسی قرار گیرد تا مشخص شود چه میزان از ناهمسانگردی به دست آمده مربوط به گوشته و چه میزان مربوط به پوسته است و یا اینکه ناهمسانگردی در پوسته و گوشته چقدر با هم مطابقت دارد.

## روش تحقیق

پردازش داده‌ها در دو مرحله انجام گرفت. مرحله اول شامل استفاده از فاز Sg برای تعیین ناهمسانگردی در پوسته بالایی و بخش دوم استفاده از توابع انتقال گیرنده و فاز Ps برای بررسی ناهمسانگردی در کل پوسته است. بخش اول تحلیل امواج Sg مربوط به زمین‌لرزه‌ی بزرگ اهر-ورزقان است که در ۲۱ مرداد ۱۳۹۱ رخ داد. این زمین‌لرزه‌ها دارای ۴۶۸ رکورد ثبت شده در مدت ۱۳ روز در سه ایستگاه در این منطقه است. داده‌های استفاده شده دیگر در منطقه‌ی اهر-ورزقان مربوط به شبکه شتابنگاری ایران است و شامل ۴۰۳ رکورد ثبت شده در ۱۰ ایستگاه، به مدت ۴ ماه از تاریخ ۲۰۱۲/۱۲/۱۰ تا ۲۰۱۲/۸/۱۰ است. بزرگای این زمین‌لرزه‌ها بین ۲/۵ تا ۴/۵ است و عمق آن‌ها کمتر از ۲۰ کیلومتر است بنابراین با استفاده از این زمین‌لرزه‌ها فقط می‌توان ناهمسانگردی در پوسته بالایی را مورد بررسی قرار داد. بخش بعدی استفاده از توابع گیرنده مربوط به سال‌های ۱۳۸۷ تا ۱۳۹۱ هستند که به روش واهمامیخت در حوزه فرکانس و با فیلتر میان‌گذر ۰/۰۵ تا ۰/۸ هرتز محاسبه شده‌اند. این توابع گیرنده را ثبوتی و همکاران (۱۳۹۱) به دست آورده‌اند.

منطقه مورد مطالعه برای تعیین ناهمسانگردی بخشی از شمال غرب ایران است که در شکل ۱ نشان داده شده است. در این شکل موقعیت ایستگاه‌های مورد استفاده آورده شده است. ساختارهای مهم زمین‌شناسی در این ناحیه شامل گسله بزرگ شمال تبریز، کوه‌های آتش‌نشانی سبلان و سهند، کوه‌های تالش و بزقوش، دریاچه ارومیه در غرب و حوضه خزر جنوبی در شرق هستند.



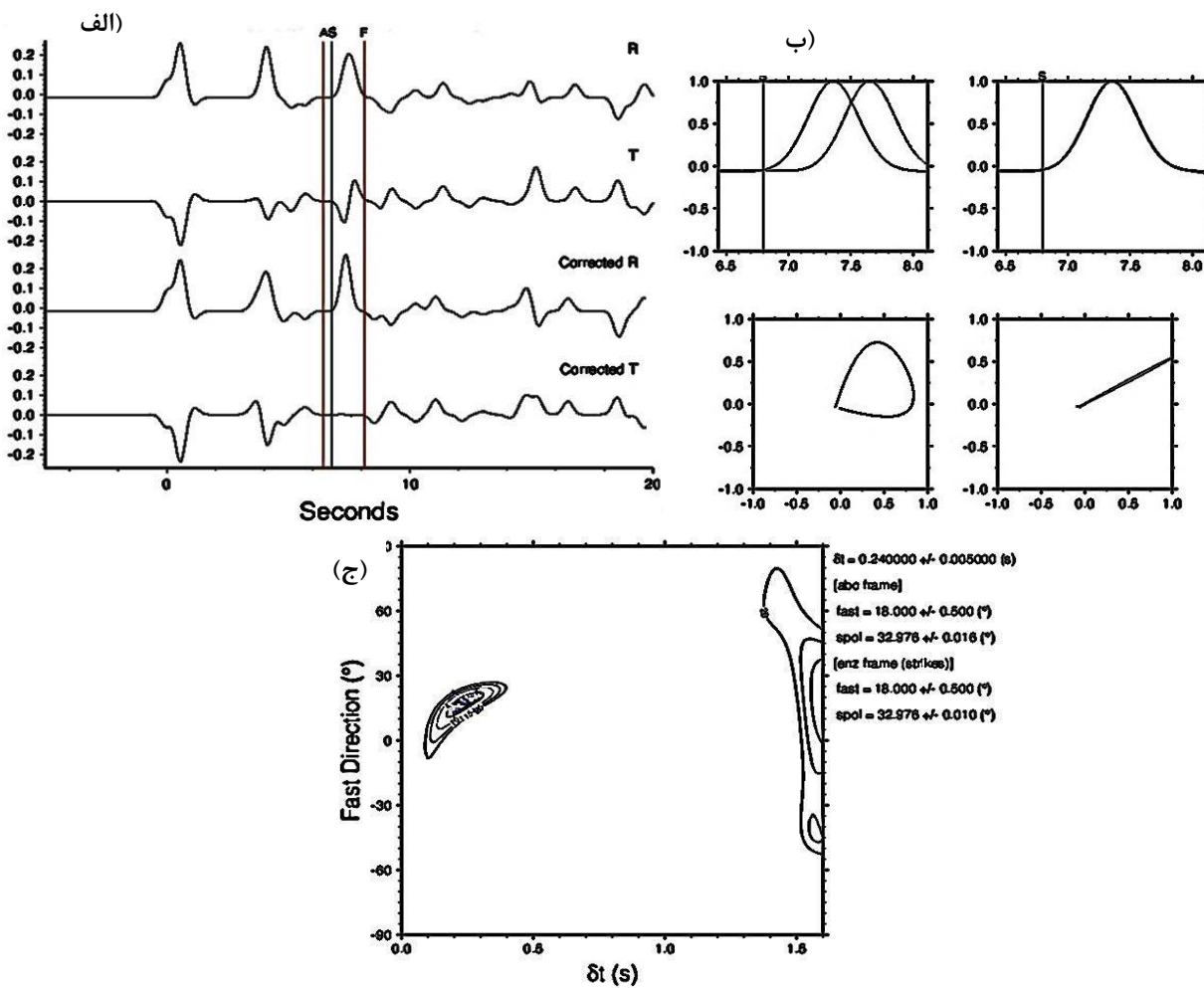


شکل ۱. موقعیت منطقه‌ی مورد مطالعه. مثلث‌های مشکی ایستگاه‌های موقت لرزه‌نگاری دانشگاه تحصیلات تکمیلی علوم پایه زنجان (IASBS) و مثلث‌های قرمز ایستگاه‌های شبکه شتاب‌نگاری وابسته به مرکز تحقیقات ساختمان و مسکن (BHRC) هستند.

با توجه به سازوکارهای کانونی به دست آمده (Priestley et al., 1994) در این ناحیه که روندی شمالی-جنوبی دارد و مکانیسم معکوس با شبی ملایم به سمت غرب را نشان می‌دهند و می‌تواند دلیلی بر زیرانده شدن پوسته خزر جنوبی به زیر تالش باشد و همچنین حرکت راستگرد در قسمت غربی کوههای تالش که مربوط به گسلهایی همچون ماسوله‌داغ و سنگاور است، می‌توان استنتاج کرد راستای بیشینه تنش افقی در شرق منطقه مورد مطالعه شمال‌شرق - جنوب‌غرب است. با حرکت به سمت غرب این راستا به شمال‌غرب - جنوب‌شرق تعییر می‌کند. برای مثال در منطقه اهر-ورزان راستای بیشینه تنش افقی با به دست آوردن سازوکارهای کانونی و همچنین کار میدانی در این منطقه  $2^{\circ} \pm 132^{\circ}$ E به دست آمد (قدس و همکاران، ۱۳۹۲). همچنین در نواحی اطراف گسله شمال تبریز راستای بیشینه تنش افقی با توجه به حرکت راستبر این گسله شمال‌غرب - جنوب‌شرق است.

چندین مطالعه روی عمق مoho در این ناحیه انجام گرفته است که می‌توان به مطالعه مرتضی‌نژاد (۱۳۸۶)، ثبوتی و همکاران (۱۳۹۱) و (Taghizadeh et al., 2010) اشاره کرد. مرتضی‌نژاد (۱۳۸۶) ضخامت پوسته را  $44/3$  کیلومتر محاسبه کرد. ثبوتی و همکاران (۱۳۹۱) عمق مoho را در زیر ایستگاه‌های مورد مطالعه ۴۸ کیلومتر به دست آورden. (Taghizadeh et al., 2010) نشان دادند ضخامت پوسته در شمال غرب ایران از غرب به شرق افزایش می‌باید و میانگین عمق مoho را ۴۸ کیلومتر برآورد کردند.

برای بررسی ناهمسانگردی و محاسبه پارامترهای آن از روش (Teanby et al., 2004) استفاده شده است. این روش توسعه یافته روش Silver and Chan (1991) است و برای برآورد پارامترهای ناهمسانگردی با خطای کم با جستجوی شبکه‌ای به طور اتوماتیک استفاده می‌شود. اساس این روش بر مبنای انتخاب پنجره‌های متفاوت بر روی موج برشی است. در شکل ۲ سه برونداد اصلی نرم‌افزار در ایستگاه BOLA نشان داده شده است. نمودار الف پنجره موج برشی (A-F) را روی مؤلفه شعاعی و عرضی لرزه‌نگاشت پیش و پس از تصحیح نشان می‌دهد. A ابتدای موج F انتهای موج برشی و S بیان کننده زمان رسید فاز PS است. همانطور که ملاحظه می‌شود انرژی روی مؤلفه عرضی پس از تصحیح کمینه شده است. نمودار ب بالا، دو موج سریع و کند را پیش و پس از تصحیح نشان می‌دهد که پس از تصحیح هر دو کاملاً بر هم منطبق شده‌اند. دو نمودار پایینی جابجایی حرکت ذره هستند که پیش از تصحیح بیضوی بوده و پس از تصحیح خطی شده است.



شکل ۲. سه برونداد اصلی نرم افزار اسپلیت (Teanby et al., 2004). (الف) مولفه شعاعی و عرضی پیش و پس از تصحیح، (ب) مولفه سریع و کند و نمودار جابجایی ذره پیش و پس از تصحیح، (ج) دیاگرام  $\phi - \delta t$

نمودار ج منحنی پربند انرژی روی مؤلفه عرضی لرزه‌نگاشت را نشان می‌دهد که مقدار  $\phi = 18^\circ$  درجه و مقدار  $\delta t = 0.24$  ثانیه به دست آمده است.

### تعیین راستای ناهمسانگردی در منطقه‌ی اهر-ورزان با استفاده از فاز Sg و تحلیل نتایج

از آنجایی که درزه و ترک‌های سیاری در اندازه‌های متفاوت در پوسته زمین وجود دارد، اغلب، ناهمسانگردی در پوسته بالایی را نتیجه‌ی جهت‌گیری ترجیحی این درزه‌ها و ترک‌ها می‌دانند. عموماً جهت‌گیری این درزه‌ها و ترک‌ها را می‌توان مرتبط با میدان‌های تنش در منطقه دانست. هنگامی که در یک محیط، تنش در یک جهت خاص افزایش می‌یابد تعداد درزه‌ها و ترک‌ها به صورت عمود بر کوچکترین مؤلفه تنش اصلی افزایش می‌یابند. بنابراین آن‌ها متناسب با فعالیت میدان تنش جهت‌گیری می‌کنند و مؤلفه سریع موچ برشی در امتداد این جهت قطبیده می‌شود. برای به دست آوردن این پارامترها برای همه رخدادها یک نتیجه میانگین در هر ایستگاه محاسبه شد. بدین منظور به هر نتیجه بر حسب باره خطای آن وزنی داده شد. وزن هر نتیجه برابر با توان دوم معکوس بازه خطایی آن است. بعد از وزن دهنی میانگین‌گیری وزن دار انجام شد. همچنین میانگین‌گیری بدون اعمال وزن را نیز انجام دادیم. نتایج به دست آمده در هر دو مورد در منطقه‌ی اهر در جدول ۱ آورده شده است. آهنگ نمونه برداری دستگاه‌های لرزه‌نگاری ۵۰ و ۱۰۰ نمونه بر ثانیه است. با نگاهی به مقادیر بزرگ‌ای به دست آمده با استفاده از تحلیل فاز Sg ملاحظه می‌شود. این مقادیر از آهنگ نمونه برداری دستگاه‌ها بزرگ‌تراند.

همانطور که ملاحظه می‌شود راستاهای ناهمسانگردی شمال‌غرب-جنوب‌شرق و با میانگین آزمونی  $150^\circ$  درجه را نشان می‌دهند. این راستاهای به دست آمده با بیشینه تنش فشارشی در منطقه که دارای جهت  $N132^\circ E \pm 2^\circ$  است همخوانی دارند (شکل ۳). این تطابق بیانگر این امر است که موج برشی سریع در راستای جهت‌گیری ترجیحی درزه و ترک‌ها انتشار می‌یابد. تاخیر زمانی مؤلفه سریع و کند بین مقادیر  $0/0^\circ$  و  $0/08^\circ$  ثانیه و به طور میانگین  $0/038^\circ$  ثانیه حاصل شد. این مقادیر به دست آمده توافق خوبی با میزان ناهمسانگردی پوسته بالایی در اغلب مناطق دنیا (Savage., 1999)

جدول ۱. پارامترهای ناهمسانگردی محاسبه شده برای دو حالت میانگین‌گیری با وزن دهنده و

(الف) میانگین‌گیری بدون وزن دهنده به خطاهای الف. ایستگاه‌های لرزه‌نگاری IASBS ب. شبکه شتاب‌نگاری BHRC

نام ایستگاه	میانگین وزن دار		میانگین بدون وزن		تعداد رخدادها
	$\phi$	$\bar{\delta}t$	$\phi$	$\bar{\delta}t$	
AHR1	$5/71.0 \pm 15.6/57$	$0.046 \pm 0.04$	$4/0.5 \pm 16.3/11$	$0.005 \pm 0.0832$	۱۴۳
AHR2	$4/10.7 \pm 15.4/0.69$	$0.026 \pm 0.0409$	$2/4.8 \pm 14.9/76$	$0.0024 \pm 0.0646$	۱۹۳
AHR3	$2/25 \pm 15.0/0.43$	$0.014 \pm 0.0386$	$2/2.2 \pm 14.7/7$	$0.0032 \pm 0.053$	۲۰۱

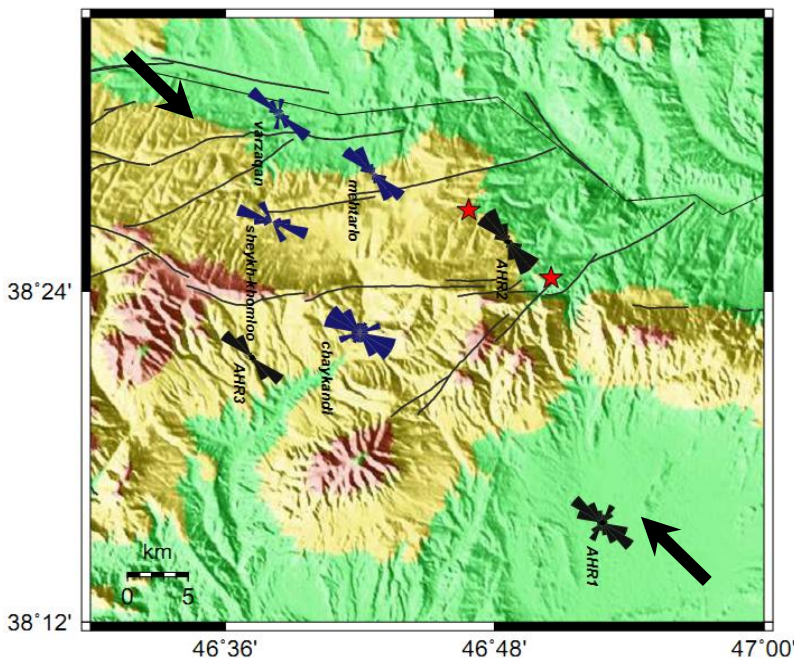
(ب)

نام ایستگاه	میانگین وزن دار		میانگین بدون وزن		تعداد رخدادها
	$\phi$	$\bar{\delta}t$	$\phi$	$\bar{\delta}t$	
Varzaqan	$6/40.4 \pm 17.4/54$	$0.021 \pm 0.0319$	$11/2 \pm 16.6/6$	$0.004 \pm 0.0322$	۲۰
Chaykandi	$15/3 \pm 14.8/45$	$0.020 \pm 0.0484$	$5/0.5 \pm 16.4/28$	$0.003 \pm 0.0465$	۱۰۸
Sheikh-khomloo	$3/24 \pm 12.8/92$	$0.021 \pm 0.0346$	$12/0.9 \pm 14.2/2$	$0.005 \pm 0.045$	۲۳
Mehtarloo1	$3/34 \pm 13.6/53$	$0.024 \pm 0.0345$	$5/6 \pm 14.6/125$	$0.006 \pm 0.052$	۳۲

### تعیین راستای ناهمسانگردی در گستره شمال غرب ایران با استفاده از فاز Ps و تحلیل نتایج

تکنیک تابع انتقال گیرنده روشی است که به مطالعه ساختار زمین با استفاده از دور زمین‌لرزه‌های ثبت شده در لرزه‌نگارهای سه مؤلفه‌ای می‌پردازد. چون در مژ پوسته و گوشته تغییر مهمی در مقدار سرعت لرزه‌ای و چگالی مواد وجود دارد لذا درصد مهمی از امواج P زمین‌لرزه‌های دور می‌توانند در این مژ به S و یا از S به P تبدیل شوند. برای مشاهده این فازهای تبدیلی (مثالاً Ps) لازم است تا سایر فازها و پرتوها با استفاده از واهمامیخت از روی نگاشت حذف شده و پرتوهای باقیمانده تقویت شوند.

در یک محیط همسانگرد ایده‌آل با لایه‌های افقی انرژی بر روی مؤلفه مماسی تابع انتقال گیرنده صفر است اما به دلایلی همچون ناهمسانگردی، ناپیوستگی و یا لایه‌های شیب‌دار و عوامل دیگر غیر صفر می‌شود (Savage., 1999). موج Ps هنگامی که در یک محیط ناهمسانگرد منتشر می‌شود به دو مؤلفه سریع و کند تجزیه می‌شود. این دو مؤلفه با گذشت زمان و حرکت در مسیر انتشار از هم تفکیک می‌شوند. جمع این دو فاز که در جهت شعاعی تصویر شده‌اند باعث افزایش پهنه‌ای مؤلفه‌ی شعاعی شده و تفرقی آن‌ها در جهت عرضی تصویر شده و مؤلفه‌ی عرضی را باریکتر می‌کنند. بنابراین ناهمسانگردی باعث ایجاد مؤلفه عرضی می‌شود که فرکانس‌های بالاتری نسبت به مؤلفه‌ی شعاعی دارد (Peng and Humphreys., 1997).



شکل ۳. رزدیاگرام‌های منطقه‌ای اهر-ورزقان. سیاه مربوط به شبکه لرزه‌نگاری دانشگاه تحصیلات تکمیلی علوم پایه زنجان. آبی مربوط به شبکه شتاب‌نگاری وابسته به مرکز تحقیقات ساختمان و مسکن. ستاره‌ها دو زمین‌لرزه‌ی اصلی رخ داده در این منطقه و پیکان‌های سیاه نشان دهنده‌ی راستای بیشینه نتش افقی هستند.

همچنین هنگامی که موج P به یک سطح شیبدار بخورد می‌کند تبدیلات Ps عرضی و شعاعی ایجاد می‌کند اما برخلاف حالت ناهمسانگردی هر دو مؤلفه در زمان‌ها و فرکانس‌های یکسان به گیرنده می‌رسند. حرکت عرضی تبدیلات Ps معمولاً دارای قطبش معکوس در مقایسه با رسید P مستقیم روی مؤلفه عرضی است (Peng and Humphreys, 1997).

راستای ناهمسانگردی در کل پوسته‌ی منطقه مورد مطالعه با اطلاع از وجود اندکی شیب در زیر برخی ایستگاه‌ها و همچنین تغییر در زمان رسید و دامنه موج Ps در آزمونت‌های پشتی مختلف، مورد محاسبه قرار گرفت. میانگین راستای ایستگاه‌ها به دست آمده در جدول ۲ آورده شده است. در سه ایستگاه LVND، SEGI و BALI اندازه‌گیری‌ها قابل اعتماد نبوده، بنابراین نتیجه‌ای گزارش نشد.

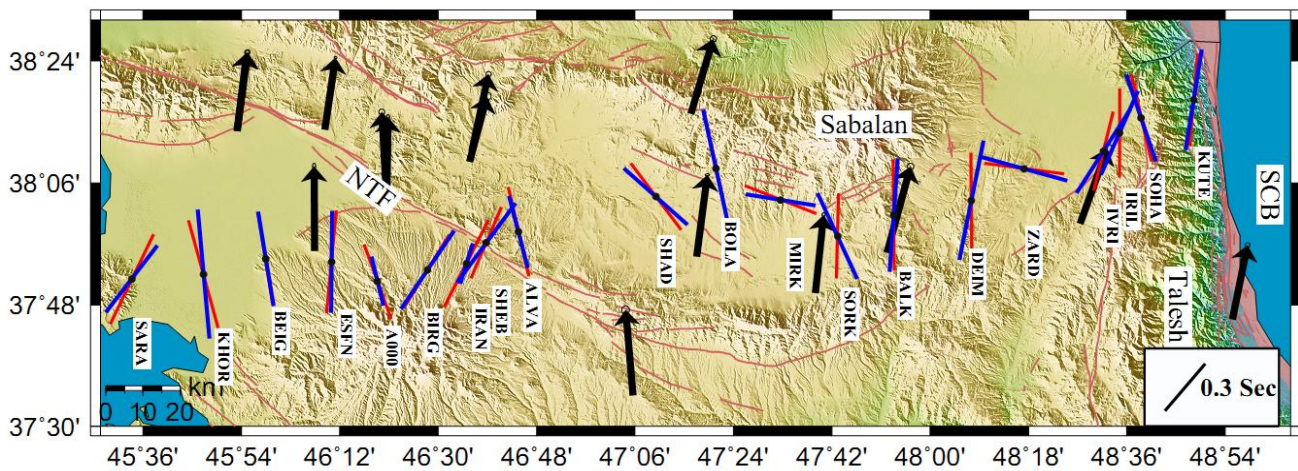
شکل ۴ راستای ناهمسانگردی به دست آمده را در منطقه نشان می‌دهد. همانطور که ملاحظه می‌شود راستای ایستگاه‌ها دارای یک روند شمال-شمال‌شرق هستند. از آنجایی که حرکت نسبی پوسته با جی‌پی اس اندازه‌گیری می‌شود، بنابراین در این شکل این بردارها نشان داده شده‌اند. با نگاهی به بردارهای جی‌پی اس مشاهد می‌شود شمال‌غرب ایران دارای یک حرکت به سمت شمال و سپس به سمت شمال‌شرق است. چنین تغییری در راستای بردارهای جی‌پی اس نشان دهنده وجود یک گرادیان سرعتی در منطقه است. این حرکت جریان پلاستیک پوسته را تحت تاثیر خود قرار می‌دهد. در نتیجه یک برش ساده در منطقه ایجاد می‌شود. بنابراین در چنین حالتی کانی‌ها موازی با راستای برش جهت‌گیری می‌کنند.

همچنین ایستگاه‌هایی که در سمت کوه‌های تالش و بخش غربی دریای خزر دارند راستای تقریبی شمالی-جنوبی و شمال‌شرقی-جنوب‌غربی ناهمسانگردی را نشان می‌دهند. در حاشیه غربی دریای خزر بیشینه تنش افقی در راستای شمال‌شرق-جنوب‌غرب است که از زیراندگی پوسته خزر به سمت غرب و حرکت راست‌گرد در امتداد کوه‌های تالش استنتاج می‌شود. به دلیل فشارهایی که به این ناحیه وارد می‌شود رشته کوه‌های تالش با روند شمالی-جنوبی ایجاد شده‌اند. کوتاه‌شدنگی پوسته و ایجاد رشته کوه باعث می‌شود حرکت پلاستیک در پوسته پایینی در امتداد رشته کوه قرار گیرد. راستای محور سریع عمود بر راستای کوتاه‌شدنگی و بنابراین موادی با رشته کوه است. بنابراین راستای ناهمسانگردی به دست آمده در این منطقه نشان دهنده رفتار پلاستیک در پوسته پایینی است. در نتیجه جریان پوسته پایینی یا به عبارتی کانی‌های این ناحیه دارای جهت‌گیری ترجیحی شمال‌شرق-جنوب‌غرب هستند که با نتایج به دست آمده در این ناحیه مطابقت دارد.

#### جدول ۲. راستای ناهمسانگردی به دست آمده با استفاده از فاز Ps در کل پوسته برای دو حالت میانگین‌گیری با وزن دهی به خطاهای و بدون وزن دهی به خطاهای

ردیف	نام ایستگاه	میانگین‌گیری بدون وزن		میانگین‌گیری با وزن دهی به خطاهای و بدون وزن دهی به خطاهای		تعداد رخدادها
		ϕ	Δt	ϕ	Δt	
۱	ALVA	۳/۴۶ ± ۱۶۵/۷۵	۰/۰۹۹ ± ۰/۳۶	۵/۶۲ ± ۱۶۷/۲۲	۰/۰۱۸ ± ۰/۴۵	۶۵
۲	A000	۶/۰۱ ± ۱۶۶/۴۹	۰/۱۳ ± ۰/۲۴	۹/۷۵ ± ۱۶۰/۷۴	۰/۰۵۳ ± ۰/۳۷۹	۱۹
۳	BALK	۰/۹ ± ۱۸۴/۰۰۹	۰/۱۲ ± ۰/۰۶	۱۳/۹۵ ± ۱۷۹/۴۶	۰/۰۴۴ ± ۰/۰۵۵	۱۳
۴	BEIG	۱/۱ ± ۱۷۰/۸۴	۰/۰۴۱ ± ۰/۴۷۹	۶/۴۷ ± ۱۷۱/۱۵	۰/۰۲۴ ± ۰/۴۵۱	۵۱
۵	BIRG	۱/۶۱ ± ۲۱۳/۴۷	۰/۰۴۷ ± ۰/۴۶	۶/۵۶ ± ۲۱۱/۱۸	۰/۰۱۸ ± ۰/۴۱	۲۹
۶	BOLA	۰/۷۸ ± ۱۶۷/۹۶	۰/۰۳۱ ± ۰/۰۹	۸/۱۱ ± ۱۶۸/۱۹۶	۰/۰۲ ± ۰/۰۲	۴۱
۷	DEIM	۹/۹ ± ۱۹۱/۲۱۴	۰/۱۲۹ ± ۰/۰۲	۶/۱ ± ۱۷۹/۵۲	۰/۰۲ ± ۰/۴۷۴	۷۶
۸	ESFN	۲/۱ ± ۱۸۰/۵۴۷	۰/۰۱۲ ± ۰/۰۵	۹/۴۲ ± ۱۸۵/۲۴۱	۰/۰۳۷ ± ۰/۰۵۱	۲۹
۹	IRAN	۶/۵ ± ۱۹۷/۰۹۵	۰/۲۳ ± ۰/۱۹	۴/۴۶ ± ۲۰۶/۴۶	۰/۰۳ ± ۰/۴۸۲	۴۵
۱۰	IRIL	۶/۲ ± ۲۰۳/۳۴	۰/۲۰۹ ± ۰/۴۲۷	۱۲/۳۶ ± ۱۸۰/۱۶۶	۰/۰۴۱ ± ۰/۴۴	۱۹
۱۱	IVRI	۱۸/۵۳ ± ۲۱۲/۰۴	۰/۰۲۷ ± ۰/۳۸۵	۷/۴۹ ± ۱۹۳/۵۰۷	۰/۰۲۷ ± ۰/۰۴	۶۳
۱۲	KHOR	۹/۹ ± ۱۷۴/۹۲	۰/۰۸۶ ± ۰/۰۶۴	۸/۸۱ ± ۱۶۴/۹۹	۰/۰۳ ± ۰/۰۵۵	۳۲
۱۳	KUTE	۴/۲۱ ± ۱۸۸/۹۴۷	۰/۰۷۰ ± ۰/۰۵	۸/۸۲ ± ۴/۷۲۷	۰/۰۲ ± ۰/۰۴۵	۳۳
۱۴	MIRK	۸/۳۵ ± ۲۷۹/۴۷	۰/۰۲ ± ۰/۳۹۱	۸/۳۵ ± ۱۱۱/۸	۰/۰۱۹۳ ± ۰/۰۳۷	۶۳
۱۵	SARA	۶/۶ ± ۲۱۶/۹۴۵	۰/۱۱ ± ۰/۴۰۸	۷/۴۷ ± ۲۰۵/۱۸۱	۰/۰۳ ± ۰/۴۹	۳۳
۱۶	SHAD	۲/۳ ± ۱۳۲/۳	۰/۱۳ ± ۰/۰۴۱	۱۱/۹ ± ۱۴۳/۵۴	۰/۰۴۸ ± ۰/۰۴۱	۱۳
۱۷	SHEB	۹/۴ ± ۲۱۵/۷۵	۰/۰۱ ± ۰/۰۴۸	۶/۳۷ ± ۲۰۲/۶۳	۰/۰۱۷ ± ۰/۰۸۱	۴۷
۱۸	SOHA	۱/۷۵ ± ۱۶۱/۶۶	۰/۰۴۶ ± ۰/۰۴۵۶	۷/۹ ± ۱۶۷/۲	۰/۰۴۸ ± ۰/۰۴۴	۲۰
۱۹	SORK	۱۹/۰۷ ± ۱۵۵/۶۴	۰/۰۳ ± ۰/۰۴۶	۷/۲۴ ± ۱۸۱/۳۹	۰/۰۲۹ ± ۰/۰۴۲	۴۸
۲۰	ZARD	۲۷/۵ ± ۱۰۵/۸	۰/۰۳ ± ۰/۰۴۳	۱۰/۳ ± ۹۷/۷۵	۰/۰۳۷ ± ۰/۰۳۹۷	۲۹





شکل ۶. راستای ناهمسانگردی به دست آمده با استفاده از فاز  $Ps$  در کل پوسته منطقه، در دو حالت میانگین گیری وزن دار به رنگ آبی و میانگین گیری بدون اعمال وزن به رنگ قرمز. پیکان‌ها راستای جی‌بی‌اس در مطالعه (Djamour et al., 2011) را نشان می‌دهند.

با بررسی ایستگاه‌های نزدیک به گسله شمال تبریز انتظار داریم هر چه به این گسله نزدیک‌تر شویم راستای ناهمسانگردی تحت تاثیر گسله قرار گیرد. زیرا گسله تبریز مرز دو بلوک پوسته است. ایستگاه ALVA در قسمت شرق گسله با راستای ناهمسانگردی شمال‌غرب-جنوب-شرق و ایستگاه‌های مستقر در غرب گسله IRAN، BIRG و SHEB یک راستای واحد شمال‌شرق-جنوب‌غرب نشان می‌دهند و هیچ تغییری با حرکت به سمت گسله در راستای این سه ایستگاه مشاهده نمی‌شود. در واقع گسله شمال تبریز نتوانسته تاثیر چندانی روی تغییر در راستای جهت‌گیری کانی‌های پوسته پایینی بگذارد و همچنین برش بزرگی در پوسته پایینی که بتواند راستای جهت‌گیری کانی‌ها را عوض کند ایجاد نکرده است. همچنین با توجه به راستاهای مشاهده شده در این دو پوسته که گسله شمال تبریز مرز آن‌ها است می‌توان چنین نتیجه گرفت که هیچ تفاوتی بین بافت ناهمسانگردی که این دو بلوک پوسته که قبلاً مربوط به دو زمان مختلف و در دو مکان مختلف بوده‌اند، دیده نمی‌شود. راستاهای ناهمسانگردی به دست آمده در این مطالعه با آنچه در گوشته با استفاده از فاز SKS و SKKS (آروین، ۱۳۹۲) و گوشته بالایی با استفاده از فاز Pn (Yan et al., 2012) به دست آمده همخوانی دارد.

## نتیجه گیری

- راستای ناهمسانگردی در منطقه اهر-ورزان با راستای بیشینه تنش افقی در منطقه مطابقت دارد.
- ناهمسانگردی به دست آمده در پوسته منطقه مورد مطالعه صرف نظر از برخی آشفتگی‌ها دارای راستای تقریبی شمالی-جنوبی است، که با برش راست‌گرد ایجاد شده در منطقه همخوانی دارد.
- راستای محور سریع به دست آمده در شرقی‌ترین قسمت منطقه مورد مطالعه همراستا با امتداد کوه‌های تالش بوده و جریان پلاستیک در پوسته پایینی را نشان می‌دهد.
- گسله شمال تبریز که جداکننده دو بلوک پوسته‌ای است تاثیر شایان توجهی روی راستاهای ناهمسانگردی ایجاد شده در منطقه نگذاشته است و این دو بلوک پوسته‌ای بافت ناهمسانگرد مختلفی را نشان نمی‌دهند.

## فهرست مراجع

آروین ش (۱۳۹۲) مطالعه ناهمسانگردی در شمال غرب ایران، پایان نامه کارشناسی ارشد، دانشگاه تحصیلات تکمیلی علوم پایه زنجان

ثبتوتی ف، مرتضی نژاد غ و قدس ع (۱۳۹۳) ساختار لرزه‌ای پوسته در شمال غرب ایران، مجموعه مقالات پانزدهمین کنفرانس ژئوفیزیک ایران

مرتضی نژاد غ (۱۳۸۶) مطالعه ساختار پوسته در شمال غرب ایران با استفاده از توابع گیرنده، پایان نامه کارشناسی ارشد، دانشگاه تحصیلات تکمیلی زنجان

Aziz Zanjani A, Ghods A, Sobouti F, Bergman E, Mortezanejad G, Priestley K, Madanipour S and Rezaeian M (2013) Seismicity in the western coast of the South Caspian Basin and the Talesh Mountains, *Geophys. J. Int.*, 195, 799-814

Djamour Y, Vernant P, Nankali HR Tavakoli F (2011) NW Iran eastern Turkey present-day kinematics: results from the Iranian permanent GPS network, *Earth Planet. Sci. Lett.*, 307, 27–34

Ghods A, Shabanian E, Faridi Bergman E, Aziz Zanjani A, Mortezanejad G (2013) The Ahar-Varzaghan earthquake doublet (Mw 6.4, 6.2, Iran), 32 *International. Geoscience Congress, Tabriz, Iran*

Peng X and Humphreys ED (1997) Moho dip and crustal anisotropy in northwestern Nevada from teleseismic receiver function, *Bull. Seis. So. Am.*, 87, 745-754

Priestley KF, Baker C, and Jackson J (1994) Implications of earthquake focal mechanism data for the active tectonics of the south Caspian basin and surrounding regions, *Geophys. J. Int.*, 118, 111-141.

Savage MK (1999) Seismic anisotropy and mantle deformation: What have we learned from shear wave splitting, *Rev. Geophys.*, 37, 65–106

Silver PG and Chan WW (1991) Shear-wave splitting and subcontinental mantle deformation, *J. Geophys. Res.*, **96**, 16,429 –16,454

Taghizadeh F, Sodoudi F, Assari N and Ghasemi MR (2010) Lithosphere structure of NW Iran from P and S receiver Function, *J Seismol.* 14, 823-836. Doi: 10.1007/s10950-010-9199-2

Teanby NA., Kendall J-M and Van der Baan M (2004) Automation of shear wave splitting measurements using cluster analysis, *Bull. Seis. Soc. Am.*, 94, 453-463

Yan Lü, Bin Liu, Shunping Pei, Youshun Sun M, Nafi Toksöz and Xiangfang Zeng (2012) a Tomographic Velocity and Anisotropy beneath the Iran Region, *Bull. Seis. Soc. Am.*, 102, 426–435

